تحسين الحماية التاكلية للفولاذ باستخدام طلاءات المتراكب النانوي PMMA/TiO2

الخلاصة

في هذا البحث تم تحضير طلاءات متراكب نانوي ذو أساس بوليمري من البولي مثيل ميثاكر يلايت PMMA مدعم بدقائق أوكسيد التيتانيوم النانوية بمعدل حجم حبيبي 75 nm وبنسب اضافة (0, 0.5, 1.0, 1.5, 2.0) (wt%). رسبت الطلاءات الطلاءات على سطوح الواح من الفولاذ الكربوني باستخدام طريقة الغمر وتم تشخيص التركيب الكيميائي للطلاءات المتراكبة باستخدام مطياف الاشعة تحت الحمراء FTIR. إجري أختبار التآكل بواسطة الغمر في محاليل حامضية وملحية عند درجة حرارة الغرفة، وتم قياس مقدار الفقدان في الوزن وحساب معدل التاكل كدالة لزمن التعرض كمعيار لتأثر الفولاذ الكربوني بوسطي التآكل المختلفين. أكدت النتائج إن مقاومة التآكل لطلاءات المتراكبات النائوية PMMA/TiO2 تبدي تحسنا ملموسا مقارنة بطلاءات البولي مثيل ميثاكر يلايت النقية في الأوساط التآكلية الحامضية والملحية.

الكلمات المفتاحية: أو كسيد التيتانيوم النانومتري، طلاءات متر اكبة نانوية، مقاومة التآكل.

محمد عبيد كاظم

جامعة الكرخ للعلوم العراق m.obaid_k@yahoo.com

على جبر عداي

دائرةً بحوث المواد,وزارة العلوم والتكنولوجيا,العراق

محمد حسين على

دائرة بحوث المواد وزارة العلوم والتكنولوجيا العراق

تاريخ استلام البحث:2017/3/29 تاريخ القبول: 2018/4/5 تاريخ النشر: 2018/12/25

Enhancement of Corrosion Protection of steel by PMMA/TiO₂ Nanocomposite coating

Abstract

In this study polymer based nanocomposite coatings were prepared from Poly methyl methacrylate (PMMA) reinforced by TiO2 nanoparticles with average particle size of 75 nm and with different percentage (0, 0.5, 1.0, 1.5, 2.0 wt.%). The coatings were applied on carbon steel sheets by dip-coating method. The chemical composition of the nanocomposite coatings was investigated by FTIR spectroscopy. Corrosion behavior of the coated carbon steel has been done by immersion method in acid and salt solutions at room temperature. The weight loss and corrosion rate as a function of exposure time have been measured as an indication for the effect of the carbon steel by different corrosive media. Experimental results confirm that the PMMA/TiO2 nanocomposite coatings enhanced the corrosion resistance of steel in comparison with pure PMMA coatings in both acid and salt corrosive media.

Keywords: Nano-TiO₂, nanocomposite coatings, corrosion resistance.

كيف تستشهد بهذه المقالة: محمد عبيد كاظم ، علي جبر عداي, محمد حسين علي" تحسين الحماية التاكلية للفولاذ باستخدام طلاءات المتراكب النانوي PMMA/TiO₂" مجلة الهندسة والتكنولوجيا، المجلد 36، العدد الخاص ، 65-57، 2018.

1.المقدمة

تعد تقنية النانو اليوم واحدة من أهم ميادين البحث العلمي وربما تعد المفتاح العلمي للعديد من المشكلات العلمية، إذ انها توفر المكانية فريدة و غير مسبوقة للتحكم بالذرات والجزيئات لتشكيل مواد وأدوات و على المقياس النانوي. يؤكد العلماء إن هذه التقنية ستلقي بظلالها على كافة المجالات التطبيقية وخصوصاً الصناعة بالإضافة إلى الصحة والطب والالكترونيات والنقل والطاقة والبيئة و غيرها [2,1]. ولهذه التقنية الأثر الكبير في إيجاد الحلول الجذرية للعديد من المشاكل الصناعية الصعبة مثل مشكلة التاكل، التي تعد واحدة من اعقد المشكلات التي تعاني منها الدول المتطورة والنامية في العالم على حد سواء، اذ تظهر في العديد من القطاعات الصناعية الهامة مثل تآكل هياكل وانابيب الفولاذ في المنشآت النفطية وأنظمة النقل ويتسبب التآكل في إحداث خسائر أقتصادية هائلة ناتجة عن التوقفات وانخفاض الإنتاج والكوارث البيئية [4-3]. كما لا يسبب التاكل خسائر اقتصادية وعراقيل تقنية فقط ولكنه يحدث حالات مختلفة من الفشل نتيجة التآكل في تراكيب الخرسانة المسلحة والطائرات والسيارات والسيارات العديد من طرائق الحماية من التآكل يتعلق أهمها بأختيار المواد الملائمة اوتغيير البيئة المحيطة اوالتصميم المناسب الدراسات العديد من طرائق الحماية من التآكل يتعلق أهمها بأختيار المواد الملائمة اوتغيير البيئة المحيطة اوالتصميم المناسب الوستعمال طلاءات الحماية [6].

لقد جذبت الطلاءات المقاومة للتآكل الأنتباه لعدة سنوات لبساطتها وكفاءتها وكلفها المنخفضة نسبيا، وركزت البحوث على تطوير الطلاءات بحيث تلبى متطلبات مختلفة مثل سهولة التطبيق والاداء العالى وانخفاض الكلفة والقدرة على التحمل لازمان طويلة والملائمة للبيئة [7]. كما لعبت الطلاءات العضوية الدور الرئيسي في الحماية من تأكل المعادن وتم أستخدامها في العديد من الصناعات وأظهرت مقاومة جيدة للتآكل ولكنها من جانب اخر تعانى من ضعف التصاقيتها بسطوح المعادن وامتلاكها لخصائص ميكانيكية رديئة نسبيا [8]. والطريقة الانسب لتحسين خصائص هذه الطلاءات تتم من خلال إضافة مواد مالئة معينة بخصائص مرغوبة [9]. يعتبر اوكسيد التيتانيوم TiO₂ من المواد السيراميكية التي تمتلك خواص فيزياية وكيميائية فريدة اتاحت استخدامه في العديد من المجالات مثل الطلاءات الانتقائية والخلايا الشمسية، وكذلك استخدمت لتحسين الخواص الميكانيكية والفيزيائية للمواد المتراكبة وفي تحسين مقاومة البلي [11-10]. تتيح المتراكبات النانوية ذات الأساس البوليمري إمكانية الجمع بشكل فعال بين فوائد البوليمرات العضوية مثل المرونة ومقاومة الماء وخصائص المواد اللاعضوية النانوية مثل الصلادة ومقاومة التاكل وبالتالي يمكن تحسين اداء البوليمرات بشكل ملحوظ من خلال إضافات قليلة نسبيا [12]. المتراكبات النانوية تتكون من مواد ذات اطوار نانوية ومواد اخرى والتي تحسن من اداء المواد التقليدية ويتم تصنيعها بمدى واسع من العمليات مثل البلمرة والمحلول-هلام والترذيذ واليزر[13]. قام عدد من الباحثين بتحضير طلاءات لمتراكبات نانوية بوليمرية ودراسة دورها في تقليل التأكل وركزت معظم البحوث على إستخدام بوليمرات الايبوكسي والبولي انيلين لما يمتلكان من مقاومة جيدة للتأكل [15-14]. بينما حاول باحثون اخرون تحسين مقاومة التأكل للبولي مثيل ميثاكريلايت من خلال تدعيمه بمواد سير اميكية مايكروية حيث تم تحضير طلاءات من تدعيم PMMA بدقائق Hexagonal-BN بنسب مختلفة ودر اسة تأثير هذه الطلاءات على مقاومة تآكل الفولاذ المقاوم للصدأ وقد لوحظ تحسن في مقاومة التأكل في أوساط تاكلية مختلفة [9]. كما استخدمت طريقة المحلول - هلام في تحضير متراكبات من PMMA و Al₂O₃ وترسيبها على الفولاذ الكاربوني بإستخدام تقنية الطلاء بالبرم وقد أبدت الطلاءات تحسن في مقاومة تأكل الفولاذ الكاربوني [16]. يهدف البحث الحالي الى تحضير طلاءات نانوية متراكبة ذات أساس بوليمري من البولي مثيل ميثاكريلايت وتدعيمها بنسب مختلفة من دقائق اوكسيد التيتانيوم النانوية، ودراسة إمكانية تاثير الإضافات على تحسين الحماية التأكلية للفولاذ الكاربوني في الأوساط الملحية والحامضية.

2. المواد وطرائق العمل

يعد البولي مثيل ميثاكريلات PMMA أحد انواع البوليمرات العضوية ويمتلك الصيغة الكيميائية [CH2C(CH3)(CO2CH3)-] والمادة المستخدمة في البحث هي مسحوق مجهز من قبل شركة SpofaDental اما وأوكسيد التيتانيوم TiO2 النانوي فهو مجهز من شركة Hongwu Nanometer الصينية بمواصفات حجم حبيبي بحدود 50nm وبنقاوة 99.8%. وتم أختيار سبيكة من الفولاذ الكاربوني كقواعد لدراسة التآكل في أوساط تآكلية مختلفة.

 TiO_2 حضرت طلاءات المتراكبات النانوية وفقا للنسب الوزنية الموضحة في الجدول (1) وذلك بإضافة كمية من مسحوق TiO_2 النانومتري في مذيب الكلوروفورم واجراء عملية التشتيت باستخدام جهاز مجس الموجات فوق الصوتية لمدة (TiO_2 النانومتري في مذيب الكلوروفورم واجراء عملية التشتيت والخلط لمدة (TiO_2 المحول لمدة (TiO_2 المحلول لمدة (TiO_3 المحلول لمدة (TiO_4 المدلول لمدة (

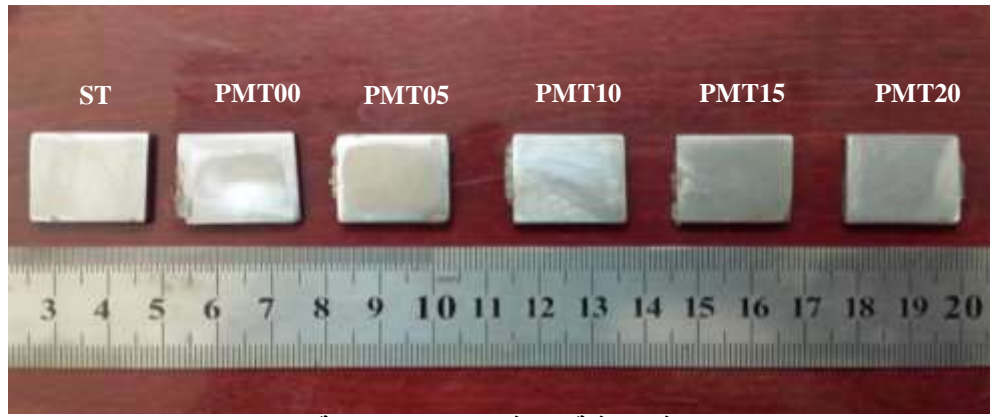
جدول (1): النسب الوزنية المئوية لطلاءات المتراكبات PMMA/TiO₂.

					()			
	رمز النموذج							
المكونات								
	ST	PMT00	PMT05	PMT10	PMT15	PMT20		
PMMA wt.%	-	100	99.5	99	98.5	98		
TiO ₂ wt.%	-	-	0.5	1	1.5	2		

تم طلاء نماذج الفولاذ الكاربوني بالمتراكبات النانوية وفق مراحل متعددة، إذ تم تهيئة نماذج من الفولاذ الكاربوني بأبعاد (20x20x3mm) وتهيئة سطوح هذه النماذج بشكل متماثل تقريبا بواسطة عملية التنعيم لإزالة ألصدا والخشونة السطحية والزوايا الحادة غير المرغوب فيها بورق تنعيم متدرج لغاية درجة 600 وتم غسل النماذج بالماء المقطر وتنظيفها بالكحول وتجفيفها بغاز النتروجين الجاف. تم الطلاء النماذج بتقنية الغمر إذ يغمر النموذج لمدة ثلاث دقائق ثم توضع في الفرن لمدة (4) بدرجة حرارة (°C). ولغرض إجراء اختبارات التآكل في المحاليل الحامضية والملحية تم تهيئة العينات وفقا للمواصفة القياسية (ASTM G1) واعتمدت الطريقة الوزنية في حساب معدل التاكل لكل نموذج [17]. يتم قياس الوزن الابتدائي للنماذج قبل اجراء اختبارات التآكل في الاوساط المختلفة ثم أجراء اختبارات نماذج المجموعة الاولى بغمر ها بشكل كامل في محلول علمضي (10 HCl) لمدة (20 hr) عند درجة حرارة الغرفة (°C) دلال الاربع ساعات الأولى من تعرض النماذج لوسط التآكل في المحلول يتم رفع النماذج كل ساعة واحدة وتجفف ثم يتم وزنها وإعادتها في المحلول، وبعد إنتهاء مدة تعرض حال المجموعة الثانية فقد المورث عليها إختبارات التآكل بغمرها بشكل كامل في محلول ملحي % NaCl 5wt. المدودج. اما المجموعة الثانية فقد أجريت عليها إختبارات التآكل بغمرها بشكل كامل في محلول ملحي % NaCl 5wt. المذوذج. اما المجموعة الثانية فقد أحريت عليها إختبارات التآكل بغمرها بشكل كامل في محلول ملحي % NaCl 5wt. التأكل فقد تم حسابه وفقا للعلاقة [17]:

 $Corrosion~Rate~(mpy) = rac{3.45 imes 10^6.W}{A.T.D}$ D و (gm) حيث: T تمثل زمن التعريض في المحلول (hr)، A المساحة المعرضة من العينة (cm^2) ، W الفقدان بالوزن الكثافة (gm/cm³).

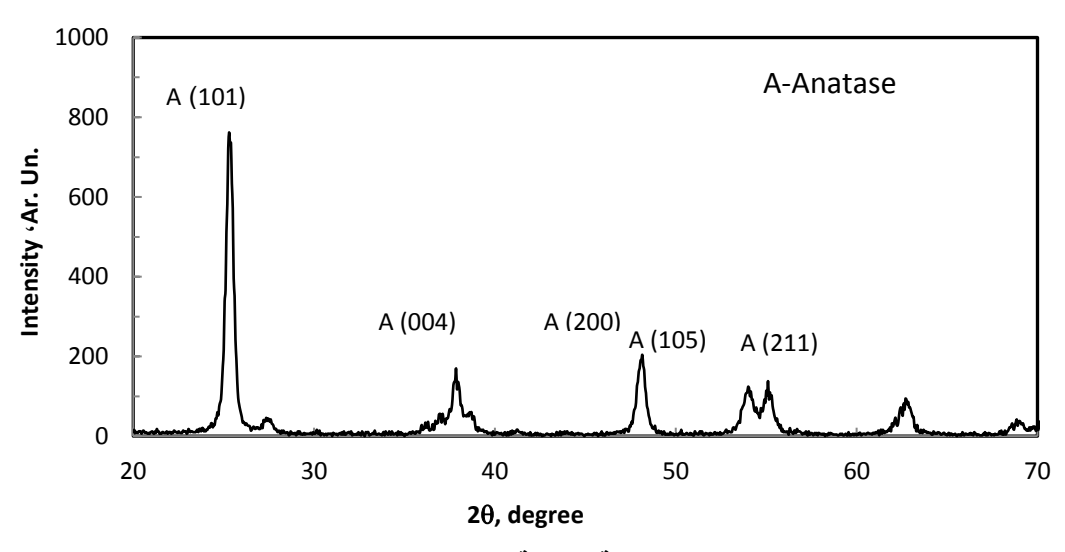
اعتمدت تقنية حيود الاشعة السينية لتحديد التركيب البلوري لمادة TiO2 النانوي باستخدام جهاز حيود الاشعة السينية نوع: Shimadzu XRD-6000 وتم قياس حجم الدقائق بإستخدام جهاز مجهر قوى الذرات AFM نوع Ntegra NT-MDT. ولغرض تشخيص التراكيب الكيميائية للمتراكبات النانوية تم إستخدام مطياف تحويلات فورير للاشعة تحت الحمراء نوع: FTIR-8400S, Shimadzu كما درست مورفولوجية سطح النموذج قبل وبعد الطلاء بإستخدام المجهر الضوئي نوع: DXM1200F Nikon وتم تحديد سمك الطلاء باستخدام جهاز 3000 Erichsen MINITEST. الشكل (1) يبين صور لنماذج الفولاذ الكاربوني قبل وبعد الطلاء بالمتراكبات النانوية والذي يوضح مدى التجانس العالى لطبقة الطلاء على النماذج المعدنية وعدم وجود أية عيوب سطحية



الشكل (1) صور فوتغرافية للنماذج بعد اجراء عملية التنعيم والطلاء.

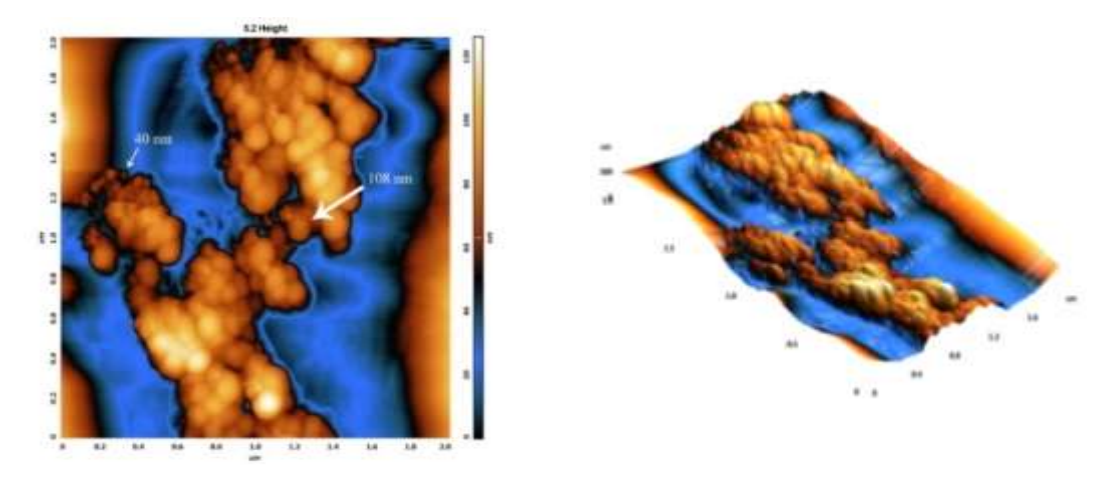
3. النتائج والمناقشة

يوجد ثانى أوكسيد التيتانيوم بثلاث اشكال بلورية هي الاناتايس Anatase والروتايل Rutile والبروكايت Brookite وقد أكدت تحليلات حيود الاشعة السينية الموضحة في الشكل (2) ان تركيب TiO₂ هو متعدد التبلور ومن نوع الاناتايس Anatase من خلال المقارنة مع طيف المادة القياسي [18].



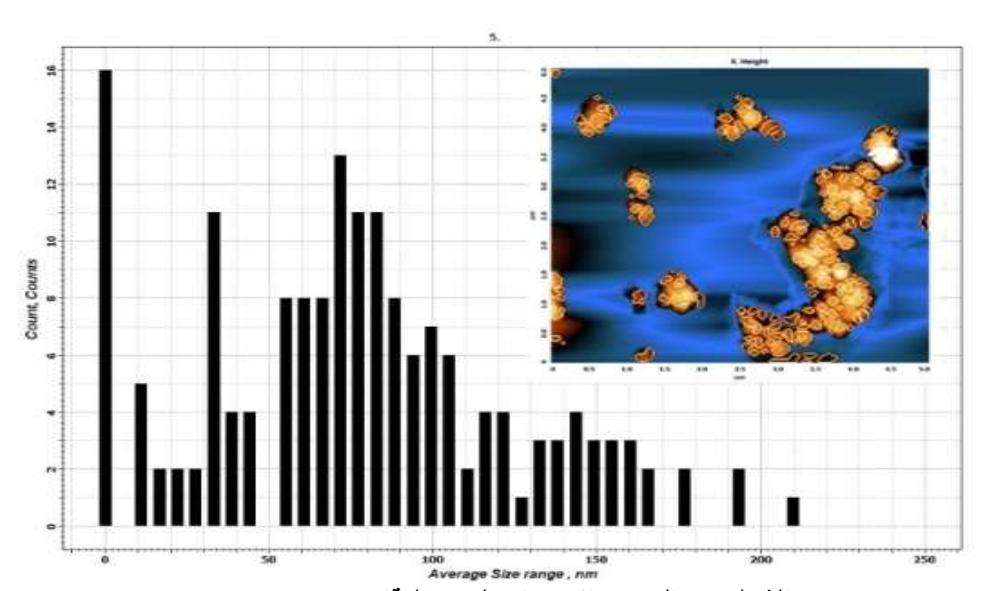
الشكل (2) طيف حيود الاشعة السينية لمسحوق اوكسيد التيتانيوم النانوي

الشكل (3) يبين صور ثنائية وثلاثية الأبعاد تمت باستخدام مجهر قوى الذرات، اذ تم ترسيب كمية صغيرة من مسحوق TiO₂ على شريحة زجاجية ليتم حساب شكل وحجم وتوزيع للدقائق.



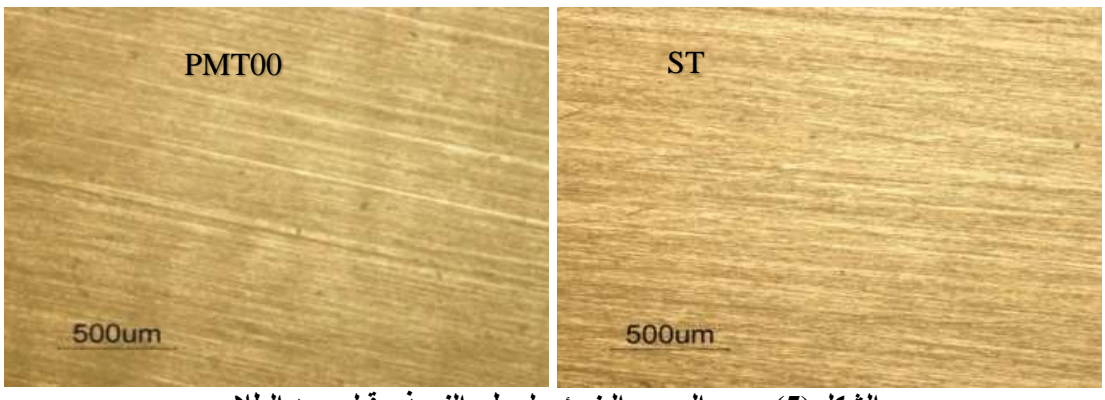
الشكل (3) صورة ثنائية وثلاثية الأبعاد TiO₂ بإستخدام مجهر قوى الذرات بأبعاد (2x2µm)

والشكل(4) يوضح التوزيع الاحصائي لحجم دقائق ثاني اوكسيد التيتانيوم النانومتري حيث نلاحظ إن معظم حجوم دقائق TiO2 كانت اقل من 200 نانومتر ووجد ان معدل حجم الدقائق هو بحدود 75nm وهي قيمة اعلى من مواصفة المادة ويعزى ذلك الى حصول تكتلات للمسحوق النانوي اثناء عملية الفحص كما يظهر في الشكل (3).



الشكل (4) التوزيع الإحصائي لحجم الدقائق (4) التوزيع

الشكل (5) يوضح صور مجهرية لسطح النموذج قبل وبعد الطلاء ونلاحظ ان طلاء بمادة PMMA شفاف وموزع بشكل متجانس ومنتظم على سطح الشرائح المعدنية ولم تظهر أية مؤشرات على وجود تكتلات او مسامات او عيوب سطحية في طبقة الطلاء



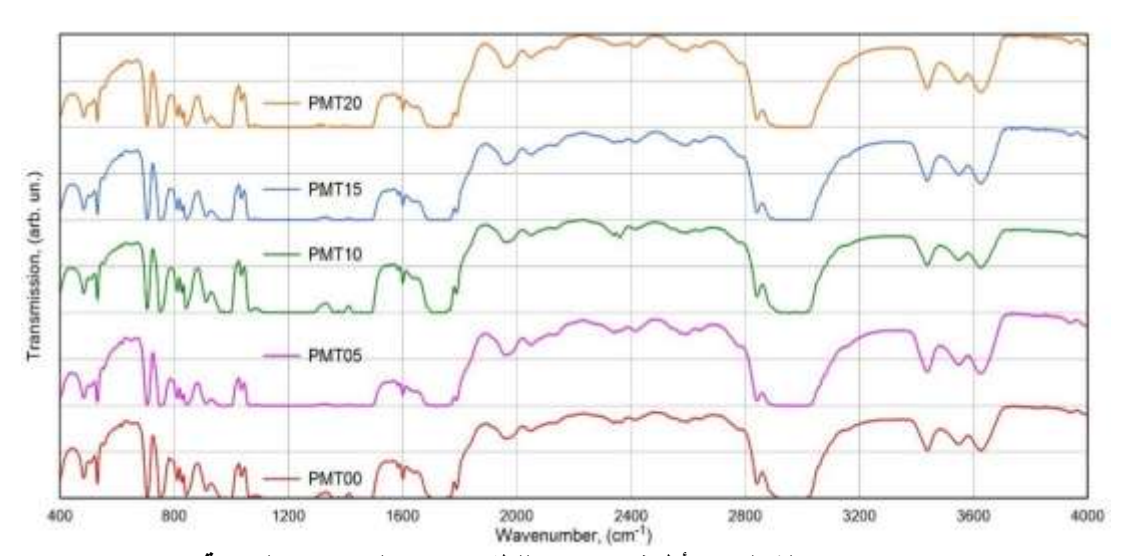
الشكل (5) صور المجهر الضوئى لسطح النموذج قبل وبعد الطلاء

تم قياس سمك طلاءات المتراكبات النانوية والنتائج موضحة في الجدول (2)، اذ يلاحظ أن سمك طلاءات المتراكبات معظمها متقاربة على الرغم من الصعوبة النسبية في الحصول على نفس السمك باستخدام تقنية الغمر، وهذا يؤكد مدى الدقة في اختيار الظروف الملائمة للتحضير وفي عملية الغمر والسحب للنماذج في محلول المتراكبات ولفترات زمنية محددة، وإن معدل سمك الطلاء كان بحدود 28.3 µm لجميع الطلاءات المحضرة.

PMMA/TiO ₂	لاءات المتراكبات	2) سمك ط	جدول (
-----------------------	------------------	----------	--------

سمك الطلاء (µm)	رمز النموذج
26.5±0.5	PMT00
25±0.5	PMT05
24.5 ± 0.5	PMT10
37.5 ± 0.5	PMT15
28±0.5	PMT20

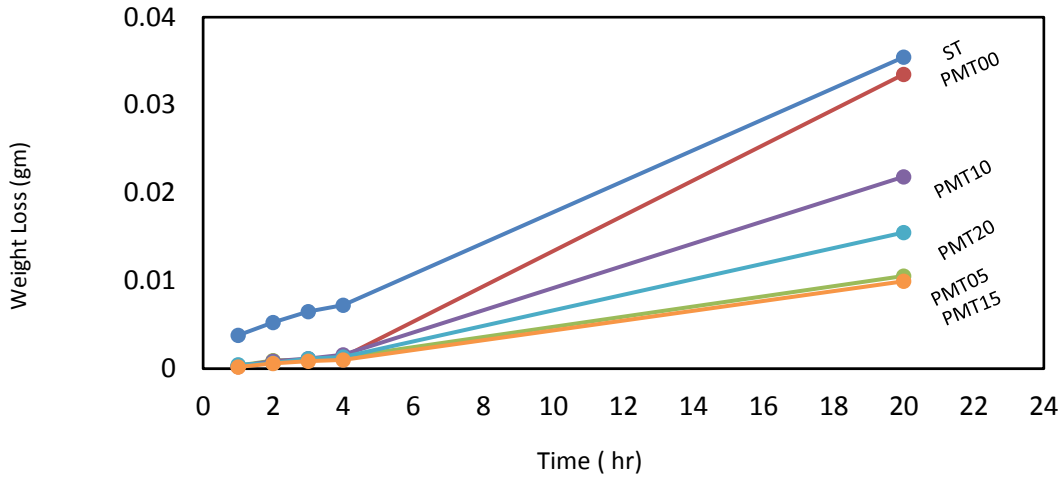
الشكل(6) يوضح أطياف تحويلات فورير للاشعة تحت الحمراء بمطياف FTIR لطلاءات المتراكبات وجميع الاطياف تشير الى حزم امتصاصية متميزة في المركب PMT00 النقي و هي (-704, 842, 810, 750, ,482 cm) تعود الى النمط الاهتزازي C-CH3 rocking و (-910cm-1, 1033) تنسب الى النمط الاهتزازي C-H stretching و (-430 cm) تنسب الى النمط الاهتزازي C-H stretching و (-16,19] تنسب الى النمط الاهتزازي C-H stretching و (-16,19]. يلاحظ وجود تغيرات طفيفة جدا بإطياف النماذج المطلية المسلام النانوية بالمقارنة مع طيف نموذج PMT00 النقي، تؤدي إضافة دقائق أوكسيد التيتانيوم النانوية الى إعاقة حركة السلاسل البوليمرية وبالتالي يمكن ان تؤدي الى احداث تغييرات في الشدد النسبية لبعض أنماط الاهتزاز في السلسلة البوليمرية دون تخليق أنماط جديدة او احداث إزاحة نسبية للانماط الأساسية و هذا يتوافق مع نتائج باحثين اخرين [20].



الشكل (6) أطياف FTIR للطلاءات من المتراكبات النانوية

تحاليل التآكل

الشكل (7) يبين العلاقة بين فقدان الوزن للنماذج المطلية كدالة لزمن التعرض في محلول (1N HCl). يمكن تقسيم المنحني في الشكل الى قسمين هما منطقة الازمان القصيرة ومنطقة الازمان الطويلة، يلاحظ في منطقة الازمان القصيرة تفاوت بسيط في مقاومة التأكل بين النماذج المطلية خلال الأربع ساعات الاولى من الغمر بحيث يصعب التميز بينهما وجميع النماذج المطلية تبدي تحسن جيد وواضح في مقاومة التأكل مقارنة بمقاومة تأكل النموذج غير المطلي ST. اما في منطقة الزمن الطويل خلال (20 hr) من الغمر نلاحظ تفاوت كبير في مقاومة تأكل النماذج المطلية حيث نجد النموذج والمولي بيدي مقاومة ضعيفة للتأكل مقارنة بالنموذج غير المطلي ST لأن مقاومة التأكل لنموذج الفولاذ المطلي بالبولي مثيل ميثاكريلايت ضعيفة في الحامض [9]. ويلاحظ فرق واضح لتفاوت السلوك التأكلي بين النموذج PMT00 والنماذج المطلية بالمتراكبات النانوية الحامض وهذا يدل على ان تدعيم PMMT في الطلاء تحسن من مقاومته للتأكل في الوسط الحامضي.



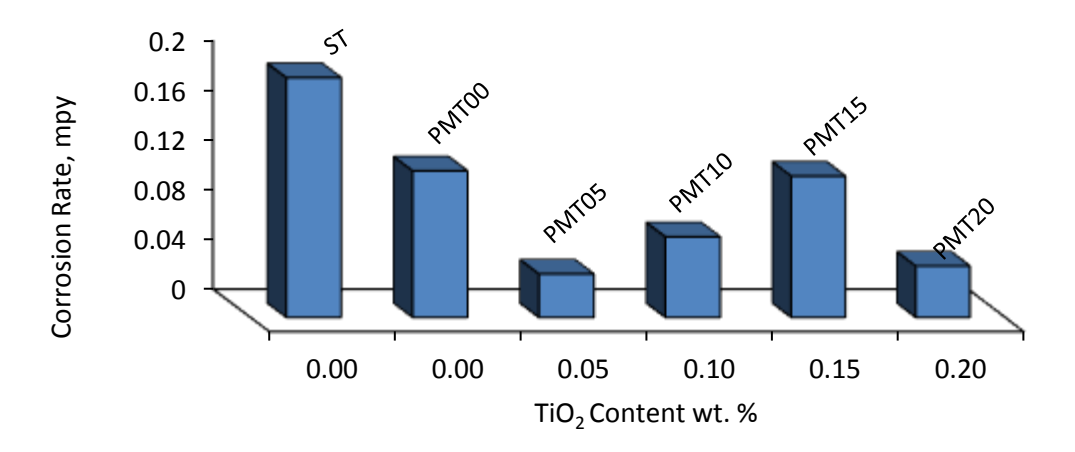
الشكل (7) العلاقة بين الفقدان بالوزن للعينات المطلية دالة لزمن التعرض في محلول 1NHCl

يوضح الجدول (3) معدل ناكل العينات في المحلول الحامضي بعد مرور 20 ساعة من الغمر في المحلول الحامضي. حيث أظهر النموذج PMT05 تحسن واضح في مقاومة للتآكل مقارنة بالنماذج PMT10 و PMT20 بينما النموذج 15 PMT19 اظهر ادنى معدل للتآكل في الوسط الحامضي مقارنة بباقي النماذج المحضرة وسجل اعلى نسبة تحسن وصلت الى حوال 73%، وقد يعود السبب في ذلك الى تأثير السمك العالى نسبيا لهذا النموذج مقارنة بالنماذج الاخرى.

جدول (3) معدل تأكل العينات في المحلول الحامضي بعد مرور 20 ساعة غمر.

.,,	=0 333	, y		
رمز العينة	سمك الطلاء (um)	الفقدان بالوزن (mg)	معدل التاكل (mpy)	نسبة التحسن
ST	-	35.45	74.81	-
PMT00	26.5	33.50	70.02	6.40%
PMT05	25.0	10.55	25.44	65.99%
PMT10	24.5	21.85	45.11	39.70%
PMT15	37.5	9.95	20.60	72.46%
PMT20	28.0	15.50	31.29	58.17%

في الشكل (8) يلاحظ انخفاض واضح في السلوك التآكلي للنماذج المطلية بالمقارنة مع النموذج غير المطلي ST في الوسط الملحي، إذ انخفض معدل تآكل النموذج 0PMTO بنسبة %36 مقارنة بالنموذج غير المطلي ST. بينما النماذج المطلية بالمتراكبات النانوية PMMA\TiO2 ببنما ابدت انخفاض اكبر ولكن بدرجات متفاوته. تأثر معدل التآكل نتيجة إضافة دقائق نانوية من ثاني اوكسيد التيتانيوم بنسب وزنية مئوية مختلفة الى PMMA اذ أظهر النموذج PMT05 زيادة ملحوظة في مقاومة التآكل عن النموذج 0PMT05 إذ قل معدل تآكله بنسبة %80 بينما معدل التآكل للنموذج 0PMT05 قل بنسبة %60 ومعدل التآكل للنموذج 450 وذلك على الرغم من ان سمك هذا التأكل للنموذج اعلى من بقية النماذج مما يؤكد ان عامل السمك ظهر بدرجة أهمية اقل من تاثير عامل الاضافة.



الشكل (8) العلاقة بين نسب الإضافة ومعدل التاكل في المحلول الملحي.

الشكل (9) يبين تأثير فترة التعرض للمحلول الحامضي في سلوك التأكل للنماذج ومن خلال ملاحظة اسطح النماذج نجد تفوق ملحوظ في مقاومة التآكل للنماذج المطلية بالمتر اكبات في المحلول الحامضي مقارنةً بالنموذج غير المطلّي ST وخصوصا النماذج المطلية بالمتراكبات النانوية PMMT\TiO2 إذ يلاحظ وجود تأثيرات طفيفة على سطح طلاء النموذج PMT15 وسطح طلاء النموذج PMT05 فكلا النموذجين كانا خاليين من التشوهات السطحية والنقر أو أية مظاهر مميزة لحالات التآكل الكيميائي. بينما توجد تاثيرات واضحة على سطح طلاء النموذج PMT10 مما يعني انخفاض واضح في مقاومة التاكل في الوسط الحامضي مقارنة بباقي اسطح النماذج المطلية بالمتراكبات النانوية PMMA\TiO₂ كما هو واضح في الشكل (7).



الشكل (9) صور لسطح النماذج بعد التآكل في محلول 1N HCl

الشكل (10) يوضح تأثير المحلول الملحى في السلوك التآكلي للنماذج خلال فترة زمنية مقدارها 21 يوم وقد أبدي النموذج PM00 تحسن في مقاومة التأكل مقارنةً بالنموذج ST وايضا يلاحظ من خلال تأثيرات الوسط التأكلي على سطح طلاء النموذج PMT05 تفوق واضح في مقاومة التأكل مقارنة بباقي اسطح النماذج المطلية بالمتر اكبات النانوية PMMA\TiO₂.



الشكل (10) صور لسطح النماذج بعد التآكل في محلول NaCl 5%

من متابعة النتائج وملاحظة الشكلين (9) و(10) يتبين لنا وجود تحسن ملحوظ في مقاومة التآكل للنماذج المطلية بالبولي مثيل ميثاكريلايت PMT00 وتحسن واضح في مقاومة التآكل للنماذج المطلية بالمتراكبات النانوية PMMA\TiO₂ وتحسن واضح في مقاومة التآكل للنماذج المطلية بالمتراكبات النانوية ST في الأوساط التاكلية الحامضية والملحية. لوحظ وجود تاثيرات طفيفة على سطح طلاء النماذج PMT05 وPMT05 نتيجة الغمر بالوسط الحامضي وايظاً على سطح طلاء النموذجين PMT05 وPMT20 نتيجة الغمر بالوسط الملحي. ووجود تاثيرات واضحة على سطح طلاء النماذج PMT10 نتيجة الغمر بالوسط الحامضي وكذلك على سطح طلاء النموذجين PMT15 وجود مسامات بينية وبشكل متفاوت النموذجين 15 PMT0 وسطح الفولاذ الكاربوني اثناء في الطلاءات التي تسمح للمحلول بإختراق الطلاء. وحدوث التفاعل بين ايونات الوسط التآكلي وسطح الفولاذ الكاربوني اثناء عملية الغمر في المحاليل الحامضية او الملحية خصوصاً في النماذج المطلية بالبولي مثيل ميثاكريلايت PMT00 .

يعمل تدعيم المادة الاساس (PMMA) بالمادة النانوية (TiO₂) على تغلغل الدقائق النانوية بين سلاسل البوليمر وملئ الفراغات البينية التي تتكون اثناء عملية البلمرة، وبذلك تتكون مادة متراكبة بمستويات رص اعلى مقارنة بالبوليمر غير المدعم. كما ان وجود الدقائق النانوية يحدث تأثيرات إعاقة لحركة الايونات من المحاليل وخلال طبقة المتراكب النانوي باتجاه سطح الفلز، أي ان طول مسار الايونات سيزداد وتقل كثافة التيار الايوني الذي يسبب تاكل السطح [21]. ترتبط مقاومة التآكل بقوة بوجود المسامات البينية والتركيبية الموجودة في الطلاءات اللاعضوية، وبما ان طلاءات PMMA تبدي حماية تآكلية ضعيفة في الأوساط الحامضية بسبب امتلاكها لنفاذيه للماء والاوكسجين [9]، لذا فان التدعيم بالدقائق النانوية يمكن ان يحسن خصائص هذه الطلاءات كما بينت النتائج.

الاستنتاجات

طلاءات المتراكب النانوي PMMA\TIO2 ذات الاساس البوليمري نجحت بشكل ملحوظ في تحسين السلوك التآكلي للفولاذ في الأوساط التاكلية الملحية والحامضية مقارنةً بالطلاءات غير المدعمة. اكدت النتائج إن مقاومة التآكل تزداد في المحلول الحامضي والملحي عند اضافة نسبة قليلة من اوكسيد التيتانيوم النانوي لا تتجاوز 1.5% كما بينت النتائج ان معدلات التاكل تتاثر بسمك الاطلاءات ولكن بدرجة اقل من تاثير نسب إضافة أوكسيد التيتانيوم النانوي، اذ ان تاثير عامل الملئ للفراغات البينية بين السلاسل البوليمرية حسن كثيرا من مقاومة الطلاءات للمحاليل الحامضية والملحية. تعد النتائج مشجعة لامكانية إستخدام هذه المتراكبات النانوية في تطبيقات مهمة كطلاءات مضادة للتآكل.

المصادر

- [1] L. Filipponi and D. Sutherland, "Nanotechnologies Principles, Applications, Implications and Hands-on Activities A compendium for educators", European Union, Luxembourg, 2012.
- [2] A. P. Nikalje, "Nanotechnology and its Applications in Medicine", Med. Chem., 5, 2, PP. 81-89, 2015.
- [3] A. C. Uzorh, "Corrosion properties of plain carbon steels", Int. J. Eng. and Sci., 2, 11, PP. 18-24, 2013.
- [4] H. M. Abd El-Lateef, V. M. Abbasov, L. I. Aliyeva and T. A. Ismayilov, "Corrosion protection of steel pipelines Against CO₂ corrosion-A Review", Chem. J., 2, 2, PP. 52-63, 2012.
- [5] K. M. Abed, "Magnetic Fe₃O₄ nano-structured coatings for corrosion protection of mild steel", MSc. Thesis, American University, College of Engineering, Sharjah, 2014.
- [6] I. A. Mahmood, M. M. Farhan and N. T. Mohammed, "Spin coating of low carbon steel by polymer matrix composite", Asian J. App. Sci. Eng., 4, 3, PP. 157-166, 2015.
- [7] Y. Qian, Y. Li Scott Jungwirth, N. Seely, Y. Fang and X. Shi, "The application of anti-corrosion coating for preserving the value of equipment asset in chloride-laden environments A Review", Inter. J. Electrochem. Sci., 10, PP. 10756-10780, 2015.
- [8] S. Kannaaiyan, Easwaramoorthi and A. Gopal, "Corrosion inhibition using nanomaterials -an overview", Inter. J. Sci. Res. Mod. Edu., PP.167-170, 2016.
- [9] T. Coan, G. S. Barroso, G. Motz, A. Bolzan, and R. A. F. Machado, "Preparation of PMMA/hBN composite coatings for metal surface protection", Mater. Res., 16, 6, PP. 1366-1372, 2013.
- [10] V. Karpakam, K. Kamaraj and S. S. Narayanan, "Electrosynthesis of PANI-Nano TiO₂ composite coating on steel Its Anti-corrosion performance", J. Electrochem. Soc., 158, 12, PP. 416-423, 2011.
- [11] A. A. Hussein, "Effect study TiO₂ on corrosion resistance and polystyrene erosion", J. Babylon University / Eng. Sci., 21, 3, PP. 1080-1089, 2013.
- [12] V. S. Saji and J. Thomas, "Nanomaterials for corrosion control", Current Sci., 92, 1, PP. 51-55, 2007.
- [13] F. A. Chyad, A. Raheem K, A. Ali and A. A. Mehatlaf, "Synthesis of nanocomposite material and studying some of its mechanical properties" Eng. Tech. J., 31, 7, PP.1221-1228, 2013.
- [14] P. P. Mahulikar, R. S. Jadhav and D. G. Handiwale, "Performance of polyaniline /TiO₂ nanocomposites in Epoxy for corrosion resistant coatings", Iran. Polymer J., 20, 5, PP. 367-376, 2011.
- [15] M. S. Nooshbadi, S. M. Ghoreishi and Y. Jafari, "Electro synthesis of polyaniline—TiO₂ nanocomposite films on Aluminum alloy 3004 surface and its corrosion protection performance", J. Nanostructures, 3, PP. 65-77, 2013.

- [16] S. Devikala, P. Kamaraj and M. Arthanareeswari, "Electrochemical performance of PMMA/Al₂O₃ composite coatings", Inter. J. Adv. Chem. Sci. and Appl., 1, 2, PP. 9-15, 2014.
- [17] American Society for Testing and Materials ASTM. G 1-03: Standard Practice for Preparing, Cleaning, and Evaluating Corrosion Test Specimens. ASTM; 2011.
- [18] Z. N. Jameel, A. J. Haider and S. Y. Taha, "Synthesis of TiO₂ nano particles by using Sol-gel method and its applications as antibacterial Agents", Eng. Tech. J., 32, 3, PP. 418-426, 2014.
- [19] C. P. Ennis and R. I. Kaiser, "Mechanistical studies on the electron-induced degradation of poly methyl methacrylate and kapton", Phys. Chem. Chem. Phys. 12, PP. 14902-14915, 2010.
- [20] R. G. Kadhim, "Study the Electrical and structural properties of (PMMA-TiO₂) nano composites", Chem. Mater. Res., 7, 9, PP. 37-48, 2015.
- [21] M. R. Khorram, M. R. Shishesaz, I. Danaee and D. Zaarei, "Synthesis and corrosion protection behavior of epoxy-TiO₂ micaceous iron oxide nano- composite coating on St-37", Iran. J. Mate. Sci. Eng., 13, 1, PP. 11-20, 2016.